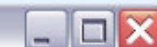


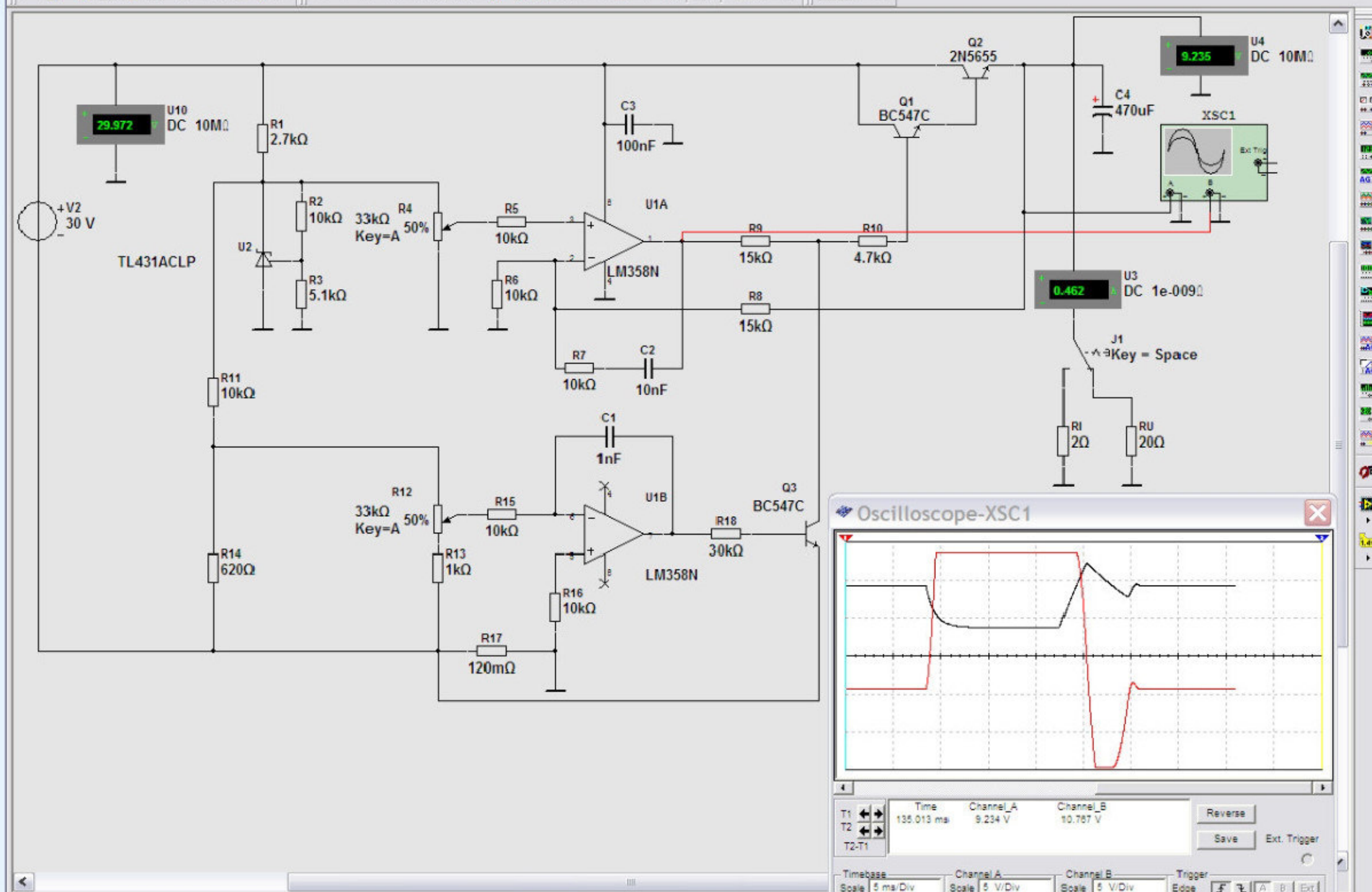
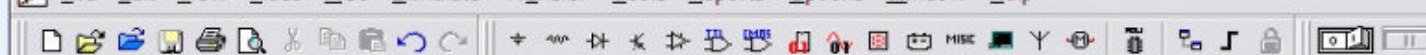
Исследование динамических параметров блока питания в NI Multisim 10

Скворцов С.Ю., Смирнов В.В.

БП Лаб с LM358_Зызюк - Multisim - [БП Лаб с LM358_Зызюк *]



File Edit View Place MCU Simulate Transfer Tools Reports Options Window Help



На прилавках книжных магазинов имеются издания, посвященные программе NI Multisim, разработанной компанией Interactive (Electronics Workbench) в статусе подразделения National Instruments (США). В основном, они ориентированы на лабораторные практикумы для изучения основ электротехники и электроники. В радиолюбительских журналах статьи, посвященные этой замечательной программе, практически отсутствуют. Цель публикации - обратить внимание радиолюбителей на некоторые практические моменты проверки и отладки схем с помощью Multisim.

«Multisim — это редактор схем и приложение для их симуляции, входящее в систему разработки электрических схем, систему средств EDA (Electronics Design Automation), которые помогут вам в выполнении основных шагов в последовательной разработке схемы. Multisim разработана для ввода схемы, симуляции и подготовки к следующему этапу, такому как разводка платы» («Руководство пользователя NI Multisim»).

Большой интерес вызвала схема БП из познавательной практической статьи Зызюк А.Г. «Блок питания ремонтника-радиолюбителя с возможностью плавной регулировки стабилизируемого тока» (ж. «Радиоаматор» №12 - 2007, №1, 2 – 2008). К сожалению, в ней не указаны даже примерные значения емкости конденсаторов C1 и C2 (все приведенные ниже позиционные обозначения элементов соответствуют схеме из статьи). Поэтому перед макетированием схемы, решено было исследовать ее работу в программе NI Multisim 10 с целью определения их номинальных значений.

В рабочей области программы была собрана схема **рис. 1**. Элементы индикации в модель не включались, а к выходу БП была подключена активная нагрузка: 20 Ом (для режима стабилизации напряжения) и 2 Ома (для режима стабилизации тока), переключаемая контактами тумблера. Движки потенциометров R4 и R12 были установлены в среднее положение, которые определяют выходное стабилизированное напряжение равным 9,23 В, а стабилизированный ток - 1,86 А.

Модель БП «заработала» сразу и показала заявленные автором технические параметры.

Одно уточнение - нижний предел регулирования тока стабилизации ограничен снизу резистором R13 на уровне около 100 мА (в статье заявлен 0). По наилучшим динамическим параметрам БП были определены значения емкости конденсаторов $C_1 = 1 \text{ нФ}$ и $C_2 = 10 \text{ нФ}$. Их оптимальные значения необходимо уточнить в реальной конструкции.

На рис. 2 представлен экран виртуального осциллографа Multisim процесса моделирования работы схемы БП при переключении нагрузки.



Рис. 2

Здесь вход канала А (Channel A – черный «луч») подключен к эмиттеру транзистора VT2, выходу БП.

Вход канала В (Channel B – красный «луч») - к выходу ОУ DA1.1.

Цена деления по шкале X (Timebase-Scale) – 5 мс/дел.

Цена деления (Scale) по шкале Y для обоих каналов – 5 В/дел.

Красный «луч» для удобства просмотра смещен по Y (Channel B - Y position) на 3 деления вниз.

Как видно из осциллограммы (Channel A – черный «луч») на рис. 2, процесс перехода БП из режима стабилизации выходного напряжения в режим стабилизации выходного тока протекает «классически». За 5 мс выходное напряжение устанавливается на новом значении, соответствующем заданному току стабилизации. Это время определяется параметрами нагрузки и значением емкости конденсатора С4. Обратный процесс, т.е. переход БП из режима стабилизации выходного тока в режим стабилизации выходного напряжения, затянут (до 8 мс) и сопровождается заметным выбросом выходного напряжения (перерегулирование около 30%).

На рис. 3 представлен экран виртуального осциллографа Multisim процесса моделирования работы схемы БП для более низкого выходного напряжения (около 5 В).



Рис.3

Как видно, переход БП из режима стабилизации выходного тока в режим стабилизации выходного напряжения, также заметно затянут (до 8 мс) и сопровождается существенным выбросом выходного напряжения (до 8,7 В). Для некоторых устройств такой БП может стать «радиогубительским»!

Если посмотреть на характер изменения напряжения на выходе ОУ DA1.1 (**рис. 2 и 3 Channel B – красный «луч»**), становится ясным причина такого поведения схемы БП. В режиме стабилизации выходного тока транзистор VT3, открываясь, снижает потенциал в точке соединения резисторов R9 и R10. При этом выходное напряжение БП также снижается. ОУ DA1.1 «откликается» на это повышением своего выходного напряжения до «упора», т.е. практически до напряжения питания, входя в глубокое насыщение. Естественно, при возвращении в режим стабилизации выходного напряжения БП, когда транзистор VT3 закрыт, требуется большое время для установления ОУ DA1.1 в режим стабилизации. **Отсюда вывод: в режиме стабилизации тока ОУ DA1.1 не должен входить в глубокое насыщение.**

Предлагается вариант простой доработки схемы, устраниющий указанный недостаток и улучшающий ее динамические характеристики. Для этого резистор $R_5 = 10 \text{ кОм}$ заменяется двумя последовательно соединенными резисторами $R_{5.1}$ и $R_{5.2}$ по $5,1 \text{ кОм}$ каждый, а коллектор транзистора VT_3 отсоединяется от резисторов R_9 , R_{10} и подключается к точке соединения $R_{5.1}$, $R_{5.2}$. Полезно также между выводами базы и эмиттера транзистора VT_3 установить резистор также $5,1 \text{ кОм}$. Такую доработку несложно выполнить в уже готовой конструкции БП. В такой доработанной схеме в режиме стабилизации выходного напряжения транзистор VT_3 закрыт и влияния на работу схемы практически не оказывает. В режиме стабилизации выходного тока транзистор VT_3 , открываясь, снижает напряжение задания ОУ $DA_{1.1}$ до уровня, соответствующего установленному току стабилизации.

На **рис. 4** представлен экран виртуального осциллографа Multisim процесса моделирования работы доработанной схемы.

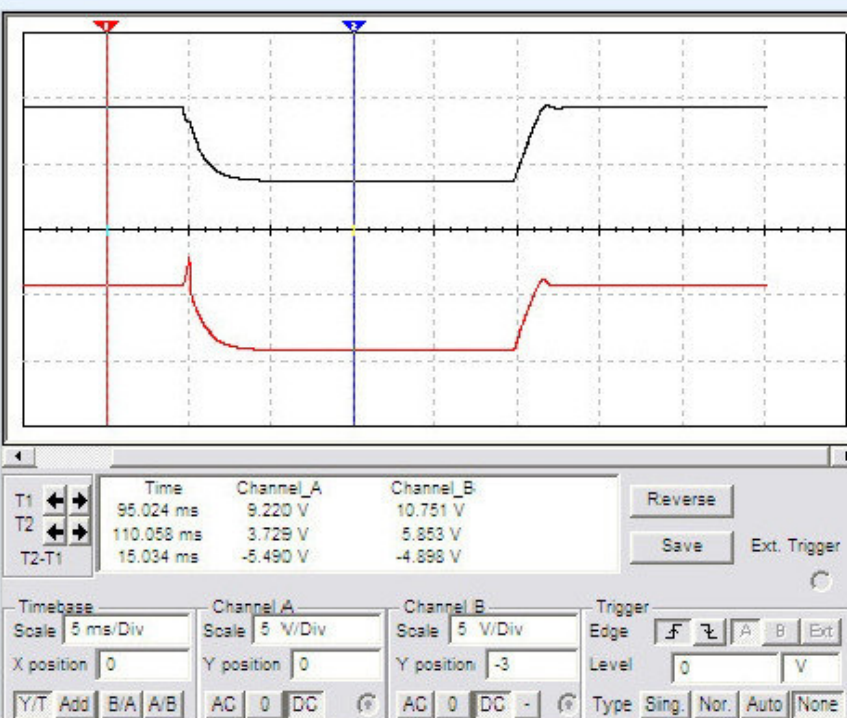


Рис. 4

Положительный результат доработки налицо.

Как видно из осциллограммы на **рис.4**, процесс перехода БП из режима стабилизации выходного напряжения в режим стабилизации выходного тока не изменился. Обратный процесс, т.е. переход БП из режима стабилизации выходного тока в режим стабилизации выходного напряжения, теперь приобрел «классический» вид (перерегулирование не более 5%, время установления сократилось с 8 до 2 мс). **ОУ $DA_{1.1}$ работает в линейном режиме.**

Можно также посоветовать включением/выключением нагрузки БП управлять «электронным» способом. Для этого между точкой соединения R5.1, R5.2 и общим проводом схемы необходимо включить контакты тумблера или кнопки с фиксацией. При замыкании их контактов напряжение задания ОУ DA1.1 будет равно нулю, регулирующие транзисторы VT1, VT2 закроются, фактически БП будет отключен от нагрузки. При размыкании контактов – БП быстро входит в режим стабилизации. В качестве ключей могут также использоваться маломощные транзисторы или оптраны. Это положительно скажется, в первую очередь, на ресурсе работы сетевого трансформатора БП и мощных выпрямительных диодов за счет исключения импульсных экстратоков в моменты включения нагрузки БП. Визуально в Multisim это удобно наблюдать с помощью токового пробника, который эмулирует поведение промышленных токовых клещей. Ток, протекающий в проводе преобразуются в напряжение, показываемое на выходных клеммах. Последние могут быть подключены к осциллографу, где ток определяется, основываясь на отношении напряжение/ток пробника (подробнее в разделе "8.23.Токовый пробник" Руководства пользователя NI Multisim).

Таким образом, моделирование схемы БП позволило сэкономить время и силы на проверку конструкции, а также отладить устройство, не прибегая к паяльнику. Особо хочется отметить, что наблюдать переходные процессы в реальном устройстве без помощи запоминающего осциллографа невозможно. Multisim же позволяет это сделать.

Неоценимую помощь в освоении Multisim окажет перевод на русский язык «Руководства пользователя NI Multisim» (Multisim 10 User Guide). Как имеющие некоторый опыт работы с этой программой, хотим обратить внимание на "Часть 7. Симуляция" Руководства. Особенно будут полезны советы из раздела "7.11. Использование симуляции для улучшения разработки". С некоторыми примерами применения, полезными на начальном этапе освоения, можно ознакомиться посетив сайт «Международный технический портал Левши» (<http://elektron.ucoz.ru/load/>).

Тот, кто хочет проверить все выше сказанное, может воспользоваться файлами моделирования работы схем, упомянутых в статье, в формате .ms10 ([архив RAR, 696 КБ](#)).

Если у радиолюбителей станет обычным делом обмениваться не только схемами и чертежами печатных плат, но и файлами моделирования электронных устройств, то настоящая статья достигла своей цели.